

Vaje iz fizikalnih merjenj 2

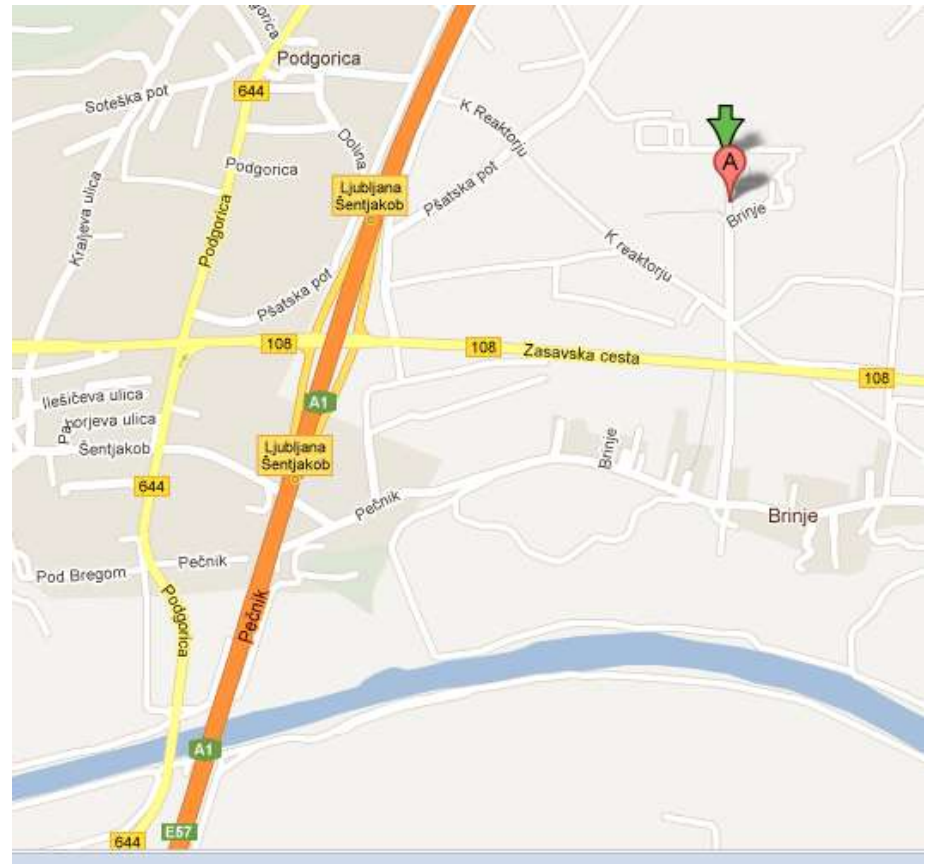
Klemen Bučar, F2 IJS

Kontakt

klemen.bucar@ijs.si

Telefon: 01-5885275

Pisarna: RCP, Brinje,
Pospeševalnik



O predmetu

- 2 kolokvija + pisni izpit iz vaj

Literatura:

1. Leo, *Techniques for Nuclear and Particle Physics Experiments*, Springer
2. Cvelbar, *Merjenje ionizirajočega sevanja*
3. Wilson, *An Introduction to Particle Accelerators*, Oxford
4. Lee, *Accelerator Physics*
- (5. Ž. Šmit, *Spektroskopske metode s pospešenimi ioni*)

Energije reakcij

- Atomska in mol. fizika: 0.1eV .. 100 keV
- Fizika jedra: 0,1 MeV .. 100 MeV
- F. osnovnih delcev GeV, TeV, PeV,...

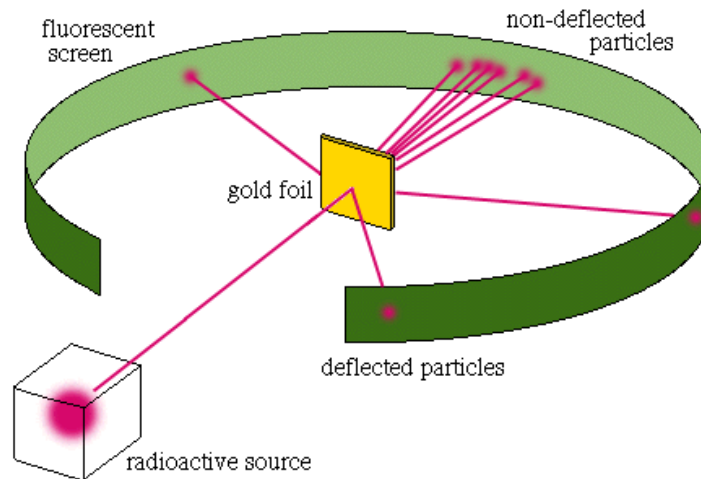
Orodje: POSPEŠEVALNIKI

Ideja pospeševalnika

1. Izvir
2. Pospeševanje
3. Transport žarka
4. Tarča
5. Spektrometri

Naravni pospeševalniki

- α delci (Ra, Th), ≈ 5 MeV, 1911 Rutherford



- kozmični žarki („galaktični posp.“) do 10^{20} eV

Pospeševalniki

Enosmerni (elektrostatični)

- katodna cev (CRT)
- rentgenska cev
- van de Graaffov posp.
- tandentron

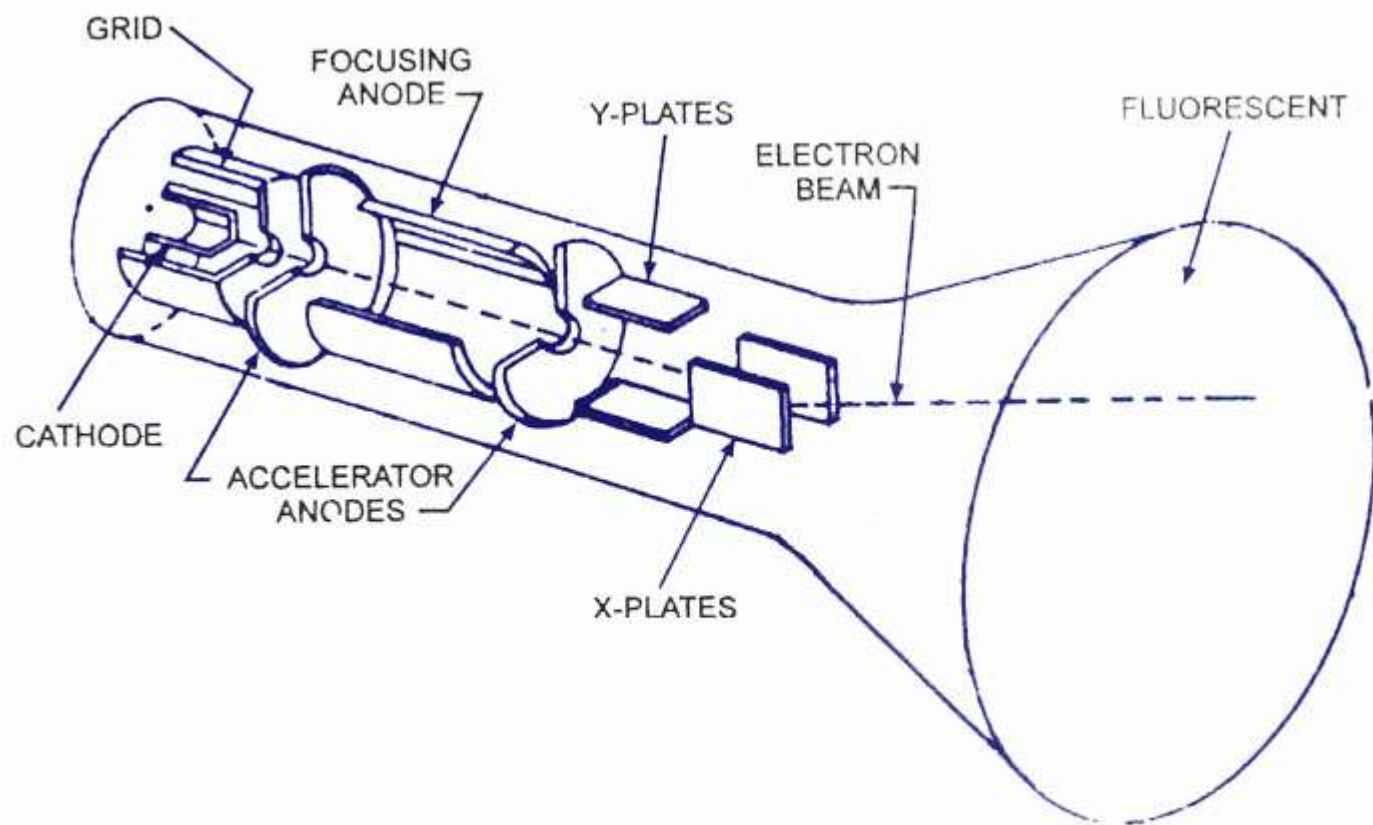
- stalen žarek

Izmenični

- Linac
- ciklotron
- sinhrotron
- ...

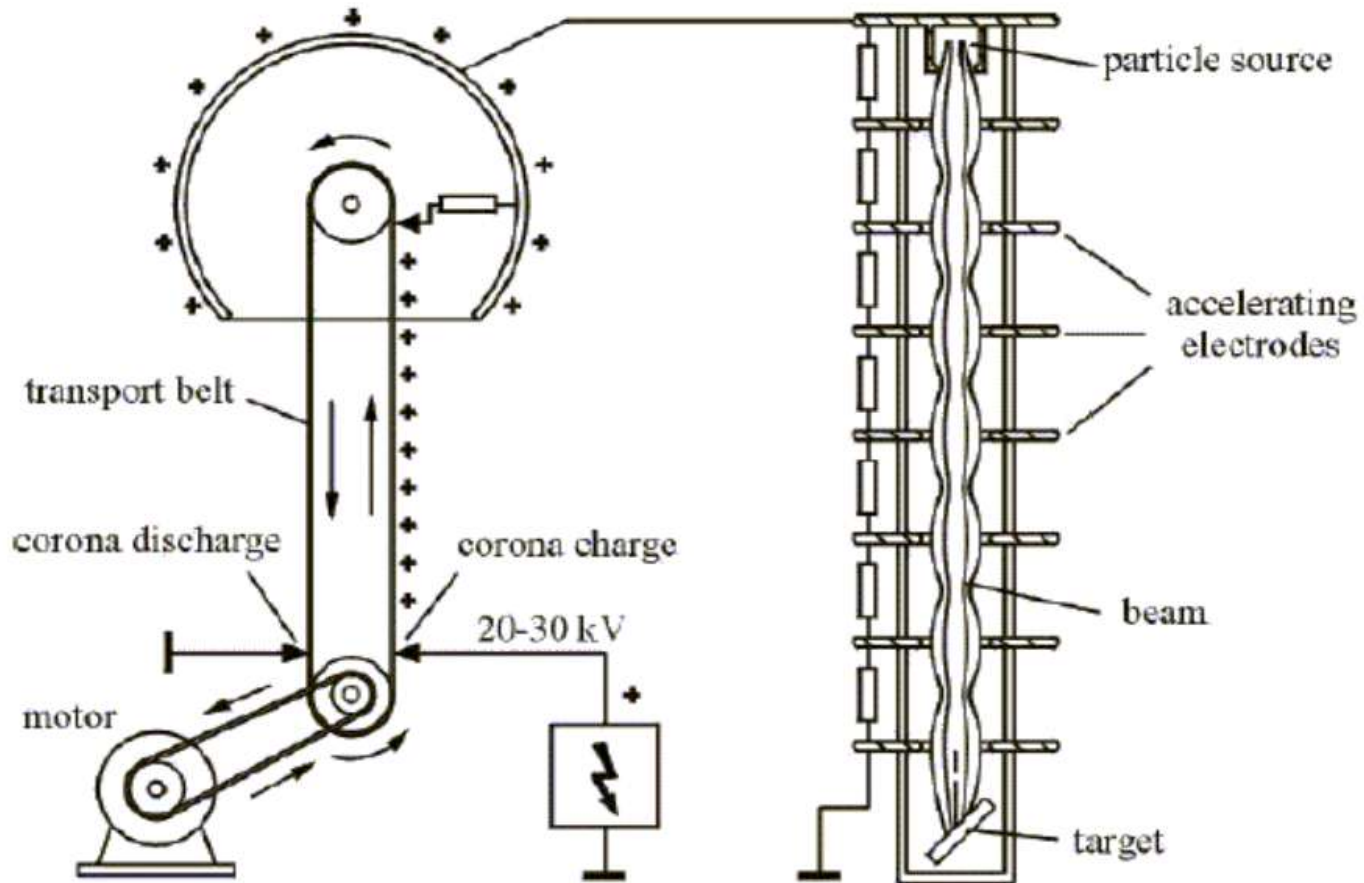
- gruče

CRT



Cathode Ray Tube

van de Graaff



Naloga za ogrevanje

van de Graaffov pospeševalnik

- Največja napetost: 15 MV.
- Elektrode po 50 kV.
- $R_1 = 500 \text{ M}\Omega$.

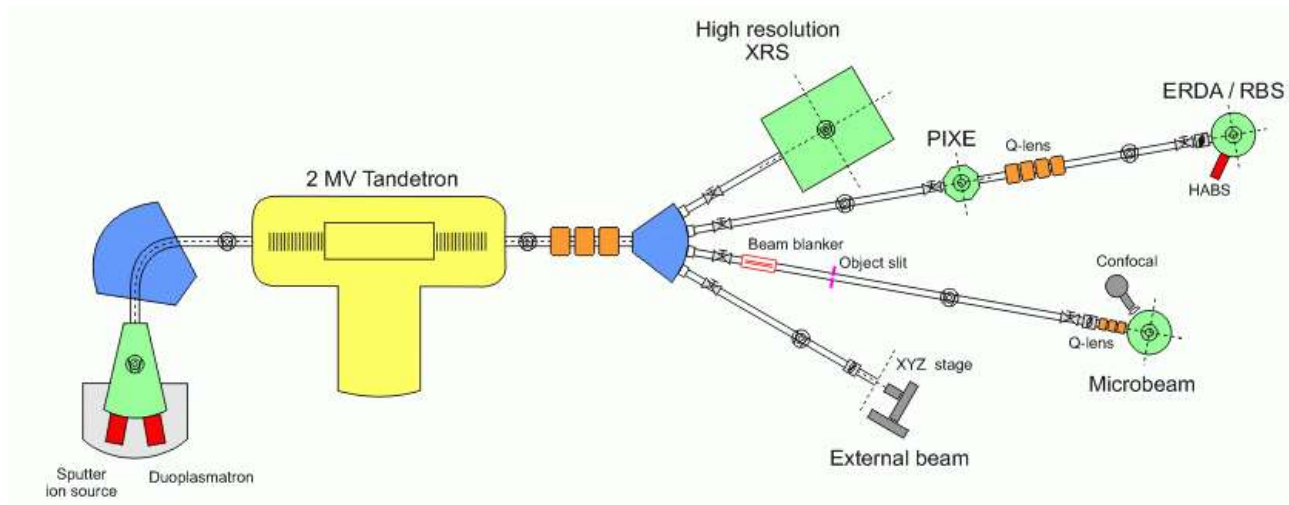
Kolišen tok teče po uporih? Tok ionov je tipično okoli $10 \mu\text{A}$.

Tandetron

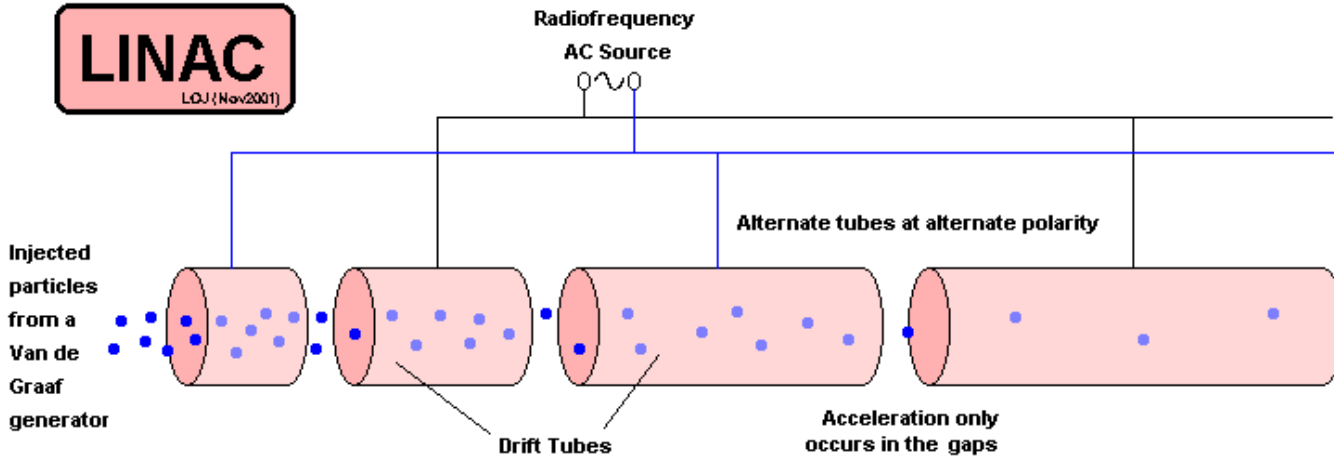
IJS – ionski pospeševalnik

- 2 MV
- 4 eksperimentalne linije
- predviden ogled

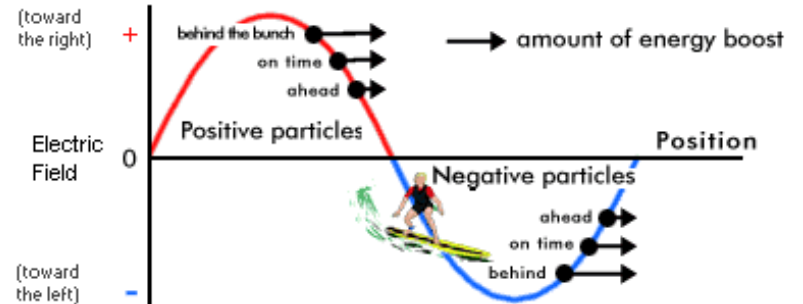
<http://www.rcp.ijs.si/mic/>



Linearni pospeševalnik

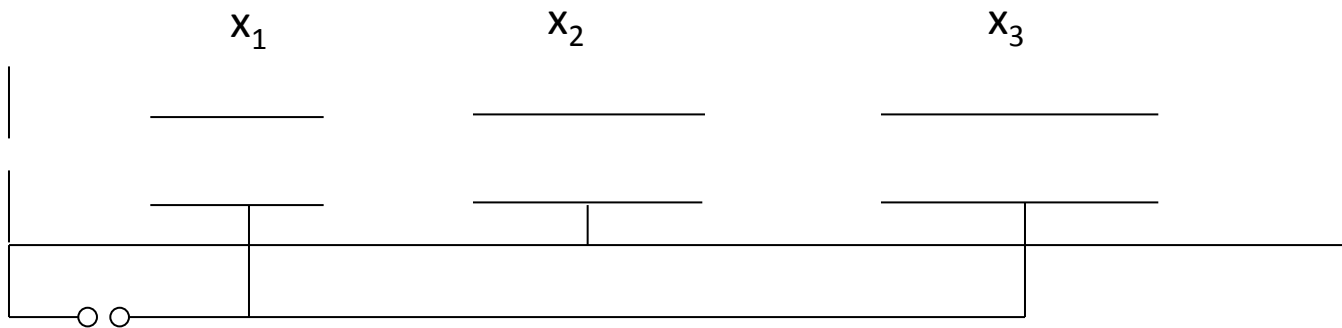


SLAC @ Stanford

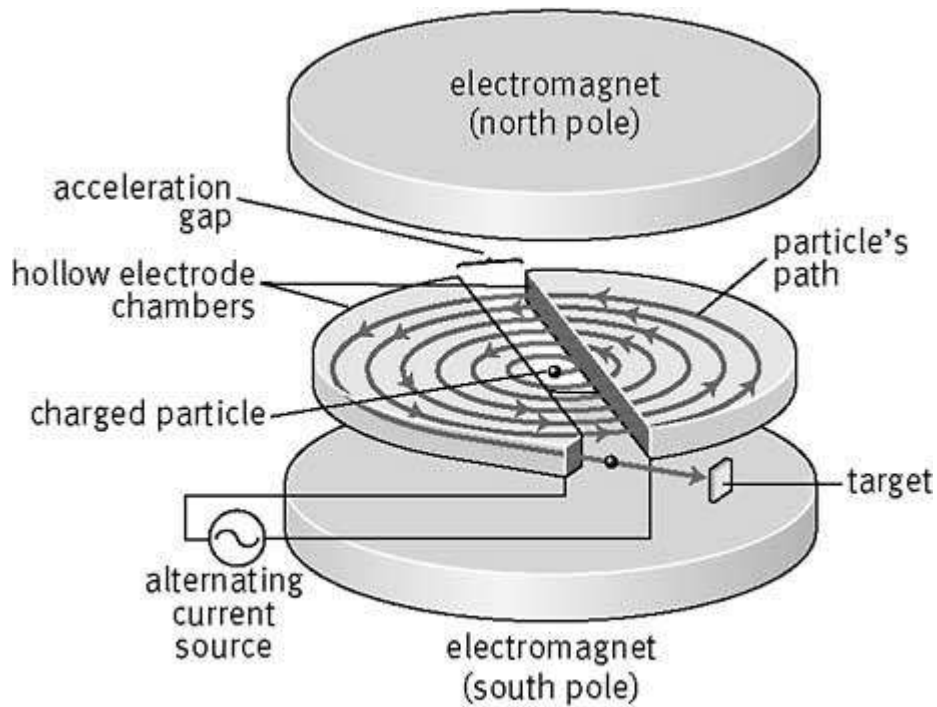


Naloga

Z linearnim pospeševalnikom pri frekvenci 0.5 Ghz pospešujemo elektrone od 100 keV do 1.3 MeV. Pospeševalnik ima tri votline. Kolikšne naj bodo njihove dolžine?



CIKLOTRON

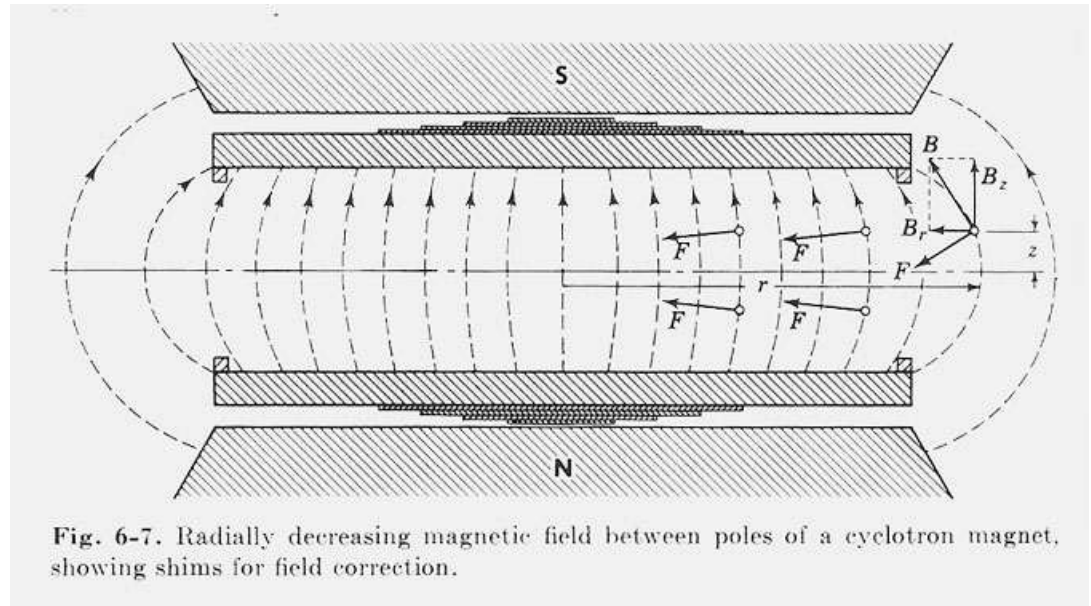


Precision Graphics

- Ciklotronska frekvenca
- Gibanje v osi z?

Šibko fokusiranje

Magnetno polje
dobi majhno
radialno
komponento,
ki lahko
fokusira v smeri
osi z in radija.



Lorentzova sila

$$\frac{d}{dt} m\gamma\vec{v} = e(\vec{E} + \vec{v} \times \vec{B})$$

Kartezične:

$$X: \quad \frac{d}{dt} m\gamma\dot{x} = e(E_x + \dot{y}B_z - \dot{z}B_y)$$

$$Y: \quad \frac{d}{dt} m\gamma\dot{y} = e(E_y + \dot{z}B_x - \dot{x}B_z)$$

$$Z: \quad \frac{d}{dt} m\gamma\dot{z} = e(E_z + \dot{x}B_y - \dot{y}B_x)$$

Lorentzova sila

$$\frac{d}{dt} m\gamma\vec{v} = e(\vec{E} + \vec{v} \times \vec{B})$$

Cilindrične:

$$r: \frac{d}{dt} (m\gamma\dot{r}) - m\gamma\dot{\varphi}^2 r = e(E_r + r\dot{\varphi}B_z - \dot{z}B_\varphi)$$

$$\varphi: \frac{1}{r} \frac{d}{dt} (m\gamma r^2 \dot{\varphi}) = e(E_\varphi + \dot{z}B_r - \dot{r}B_z)$$

$$z: \frac{d}{dt} (m\gamma\dot{z}) = e(E_z + \dot{r}B_\varphi - r\dot{\varphi}B_r)$$

Šibko fokusiranje v smeri z

- Polje z majhno radialno komponento:

$$B_r = \frac{\partial B_r}{\partial z} z$$

- Enačba gibanja:

$$\ddot{z} + n \omega_c^2 z = 0$$

Indeks polja: $n = -\frac{r_0}{B_z} \frac{\partial B_r}{\partial z}$, stabilno pri $n > 0$

Določanje tira

$$z(t) \rightarrow z(s), \dot{z} = z' v, \ddot{z} = z'' v^2$$

Tir reši: $z'' + \frac{n}{r_0^2} z = 0$, harmonično gibanje

Matrični zapis:

$$\begin{bmatrix} z \\ z' \end{bmatrix} = \begin{bmatrix} \cos(s/s_z) & s_z \sin(s/s_z) \\ -1/s_z \sin(s/s_z) & \cos(s/s_z) \end{bmatrix} \begin{bmatrix} z_0 \\ z_0' \end{bmatrix}$$

$$s_z = r_0 / \sqrt{n}$$

„sektorski magnet“

Podobno velja za radialno gibanje

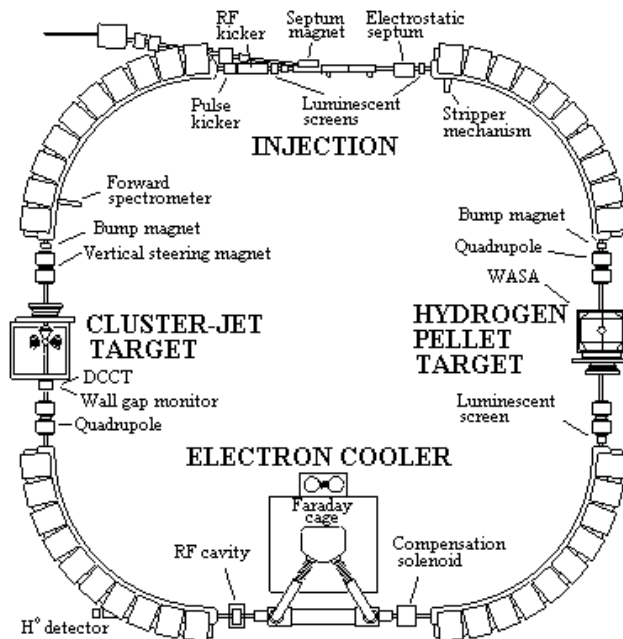
- polje: $B_z = B_0 + \frac{\partial B_z}{\partial r} (r - r_0) = B_0(1 - n \frac{\rho}{r_0})$
- gibalna enačba: $\ddot{\rho} + (1 - n) \frac{v^2}{r_0^2} \rho = 0$
- harmonično gibanje, če $n < 1$.
- matrični zapis:

$$\begin{bmatrix} z \\ z' \end{bmatrix} = \begin{bmatrix} \cos(s/s_r) & s_r \sin(s/s_r) \\ -1/s_r \sin(s/s_r) & \cos(s/s_r) \end{bmatrix} \begin{bmatrix} z_0 \\ z_0' \end{bmatrix}$$
$$s_r = r_0 / \sqrt{1 - n}$$

SINHROTRONI

- stalen radij kroženja
- frekvenca in jakost EM polja spreminjajoči
- pospeševanje, fokusiranje, zavoje, potovanje

CERN, Ženeva



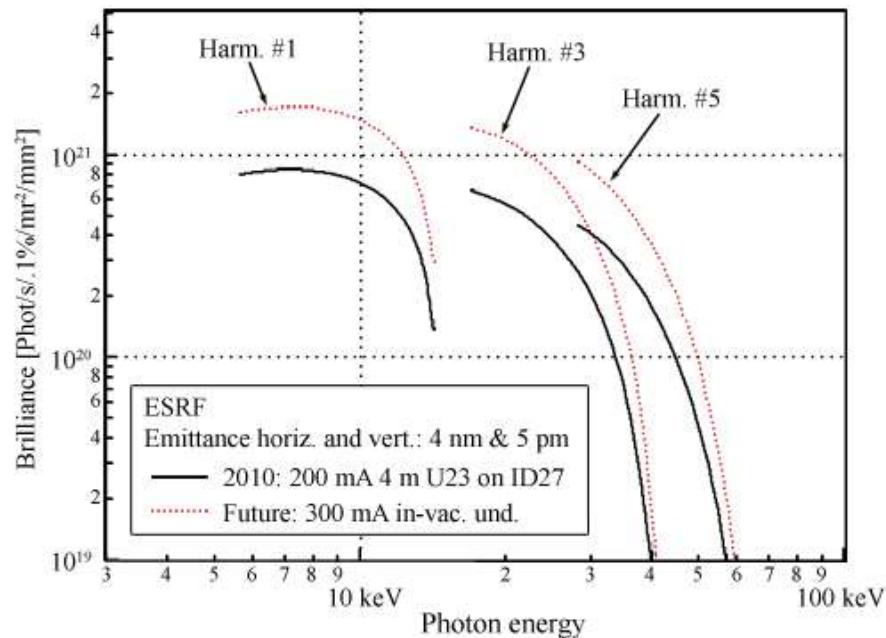
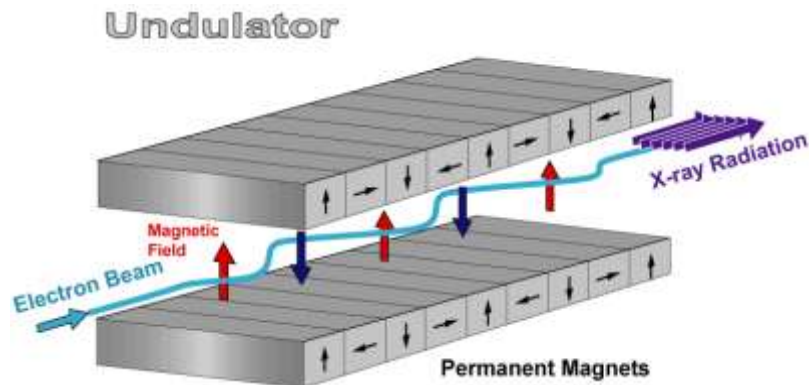
Uppsala

Sinhrotroni kot vir fotonov

- Izkoriščamo sevanje pospešenih delcev
- Magneti, wigglerji, undulatorji

Rezultat:

- koheretna polarizirana svetloba
- zvezen spekter, IR – žarki X (50keV)
- veliko aplikacij

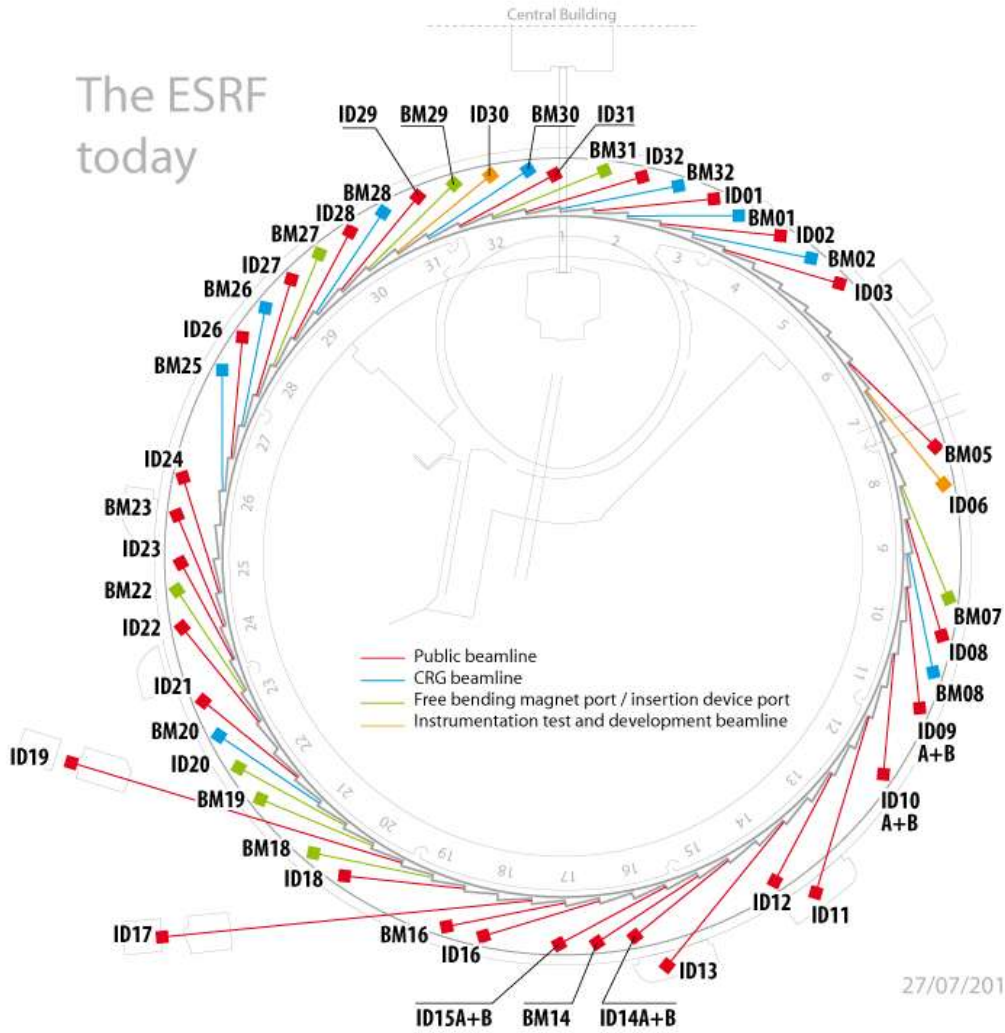


ELETTRA

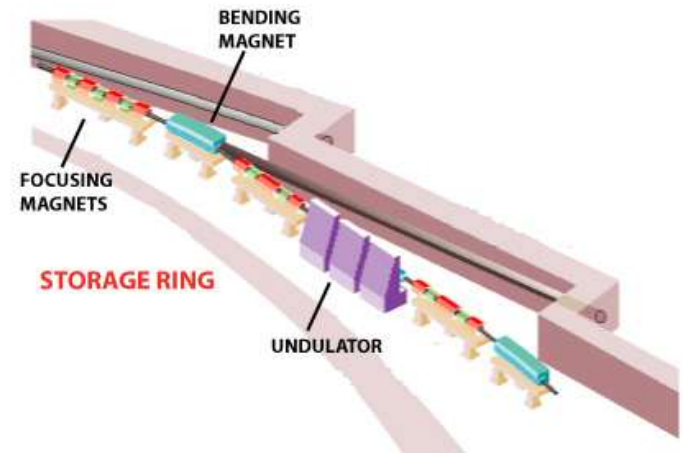
- 2,4 GeV
- UV, X žarki
- 24 linij
- FEL

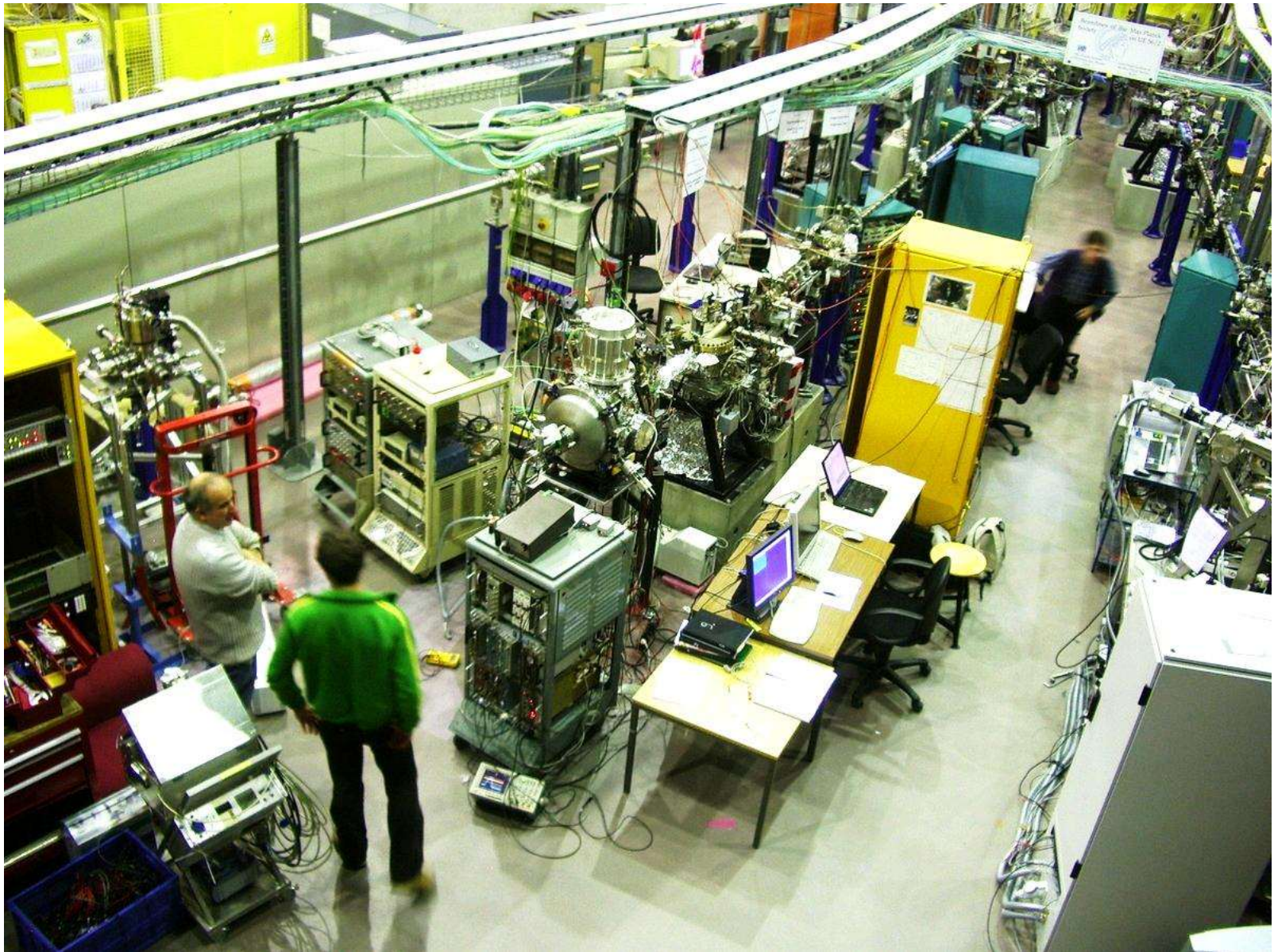


The ESRF today

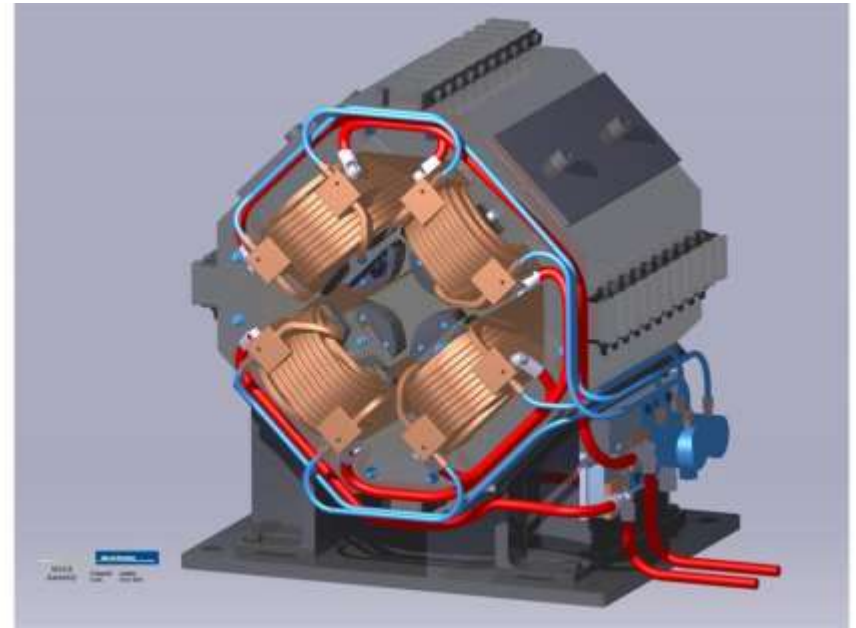
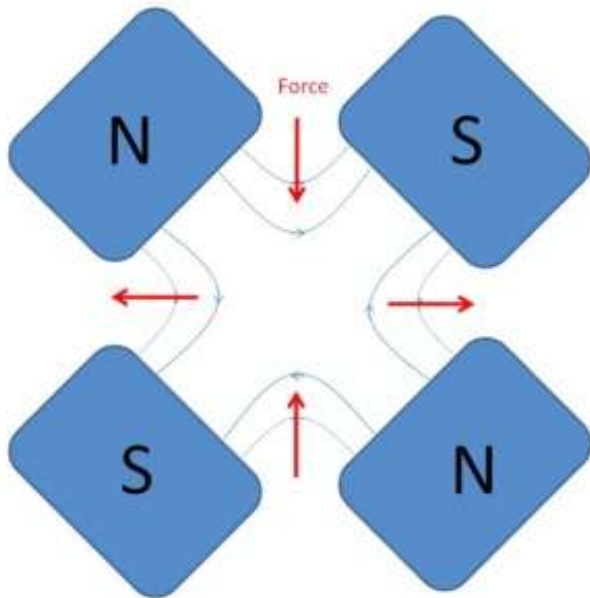


27/07/2011





Močno fokusiranje (kvadrupolni magnet)



- V eni smeri fokusira, v drugi defokusira
- V parih dosežemo fokusiranje

Kvadrupolno polje

- $B_x = \frac{\partial B_x}{\partial y} y, B_y = \frac{\partial B_y}{\partial x} x$
- Iz $\text{rot}(\vec{B}) = 0$ dobimo $\frac{\partial B_x}{\partial y} = \frac{\partial B_y}{\partial x} = g$
- enačbi gibanja: $m\gamma\ddot{x} = -e\dot{z}B_y, m\gamma\ddot{y} = e\dot{z}B_x$
- tir: $x'' + k^2x = 0, y'' - k^2y = 0$

$$k = \sqrt{eg/p}, p = m\gamma v$$

Matrika kvadrupolnega magneta

$$\text{Smer X: } \begin{bmatrix} \cos(kz) & 1/k \sin(kz) \\ -k \sin(kz) & \cos(kz) \end{bmatrix}$$

$$\text{Smer Y: } \begin{bmatrix} \cosh(kz) & 1/k \sinh(kz) \\ k \sinh(kz) & \cosh(kz) \end{bmatrix}$$

Tanek kvadrupolni magnet, $kz \ll 1$, debelina $z \rightarrow 0$:

$$\begin{bmatrix} 1 & 0 \\ \pm k^2 z & 1 \end{bmatrix}$$

Tanka leča

$$\begin{bmatrix} 1 & 0 \\ \pm 1/f & 1 \end{bmatrix}, \quad -\frac{1}{f} \text{ zbiralna, } \frac{1}{f} \text{ razpršilna}$$

Prazen prostor dolžine l

$$\begin{bmatrix} 1 & l \\ 0 & 1 \end{bmatrix}$$

Dva kvadrupolna magneta

f_2, f_1 , razdalja d , ($f > 0$, zbiralna leča)

$$\begin{bmatrix} 1 - d/f_2 & d \\ -\frac{1}{f_2} - \frac{1}{f_1} + \frac{d}{f_1 f_2} & 1 - d/f_1 \end{bmatrix}$$

1. $f_2 < 0, f_1 > 0, f_1 = f_2 = f$
2. $f_2 > 0, f_1 < 0, f_1 = f_2 = f$

Neto fokusiranje v obeh smereh, gorišči pa NE sovpadata.

Kje je gorišče za vzporeden žarek?

- lečo obdamo s praznim prostorom a in b
- preslikamo točko $\begin{bmatrix} y \\ 0 \end{bmatrix}$ in zahtevamo, da žarek seka os x za vsak y

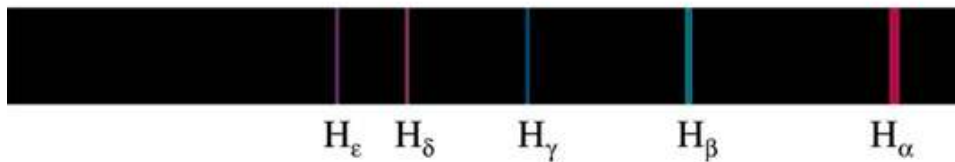
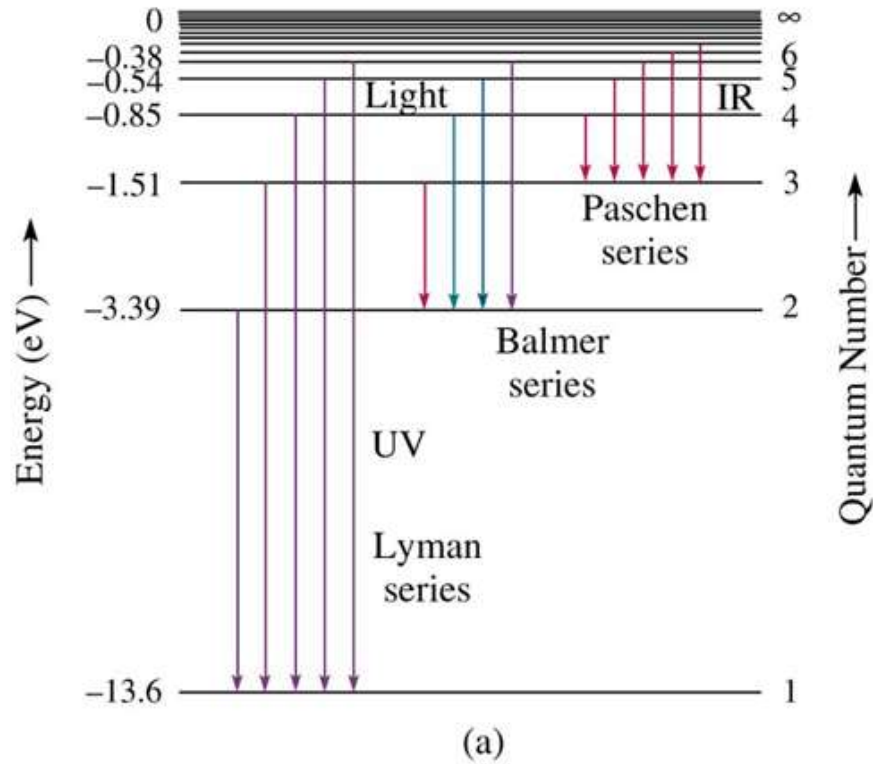
$$1. \quad -bd + f(f - d) = 0 \rightarrow b = \frac{f(f-d)}{d}$$

$$2. \quad -bd + f(f + d) = 0 \rightarrow b = \frac{f(f+d)}{d}$$

Gorišči ne sovpadata!

Atomska fizika

Vodikov atom



(b)

$$E_n = -\frac{E_0}{n^2}$$

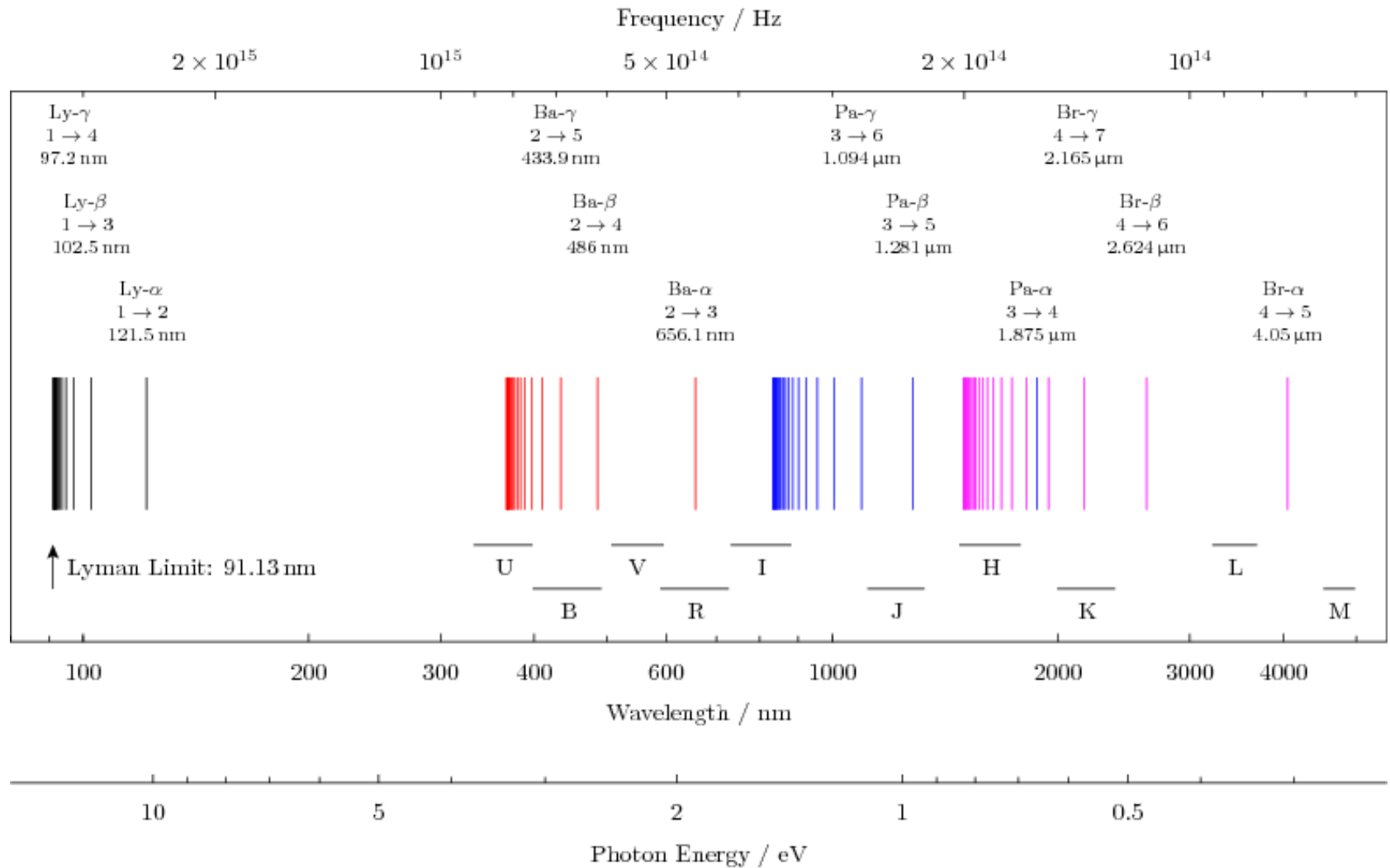
$$E_0 = 13,6058 \text{ eV}$$

$$a_0 = 53 \text{ pm}$$

$$a_n = a_0 n^2$$

$$E_n = -E_0 \frac{Z^2}{n^2}$$

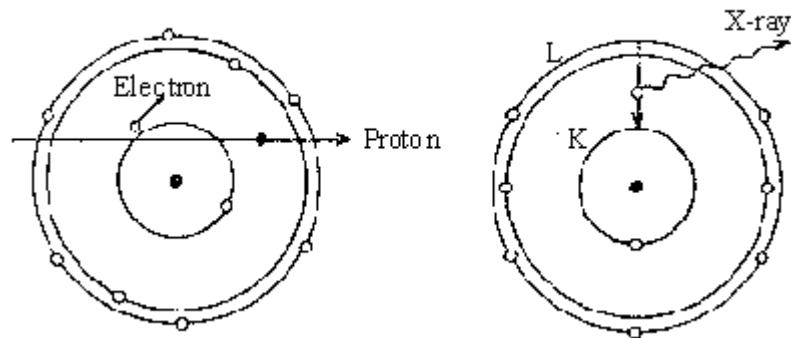
Prehodi med stanji



Uporaba: rentgenska spektroskopija

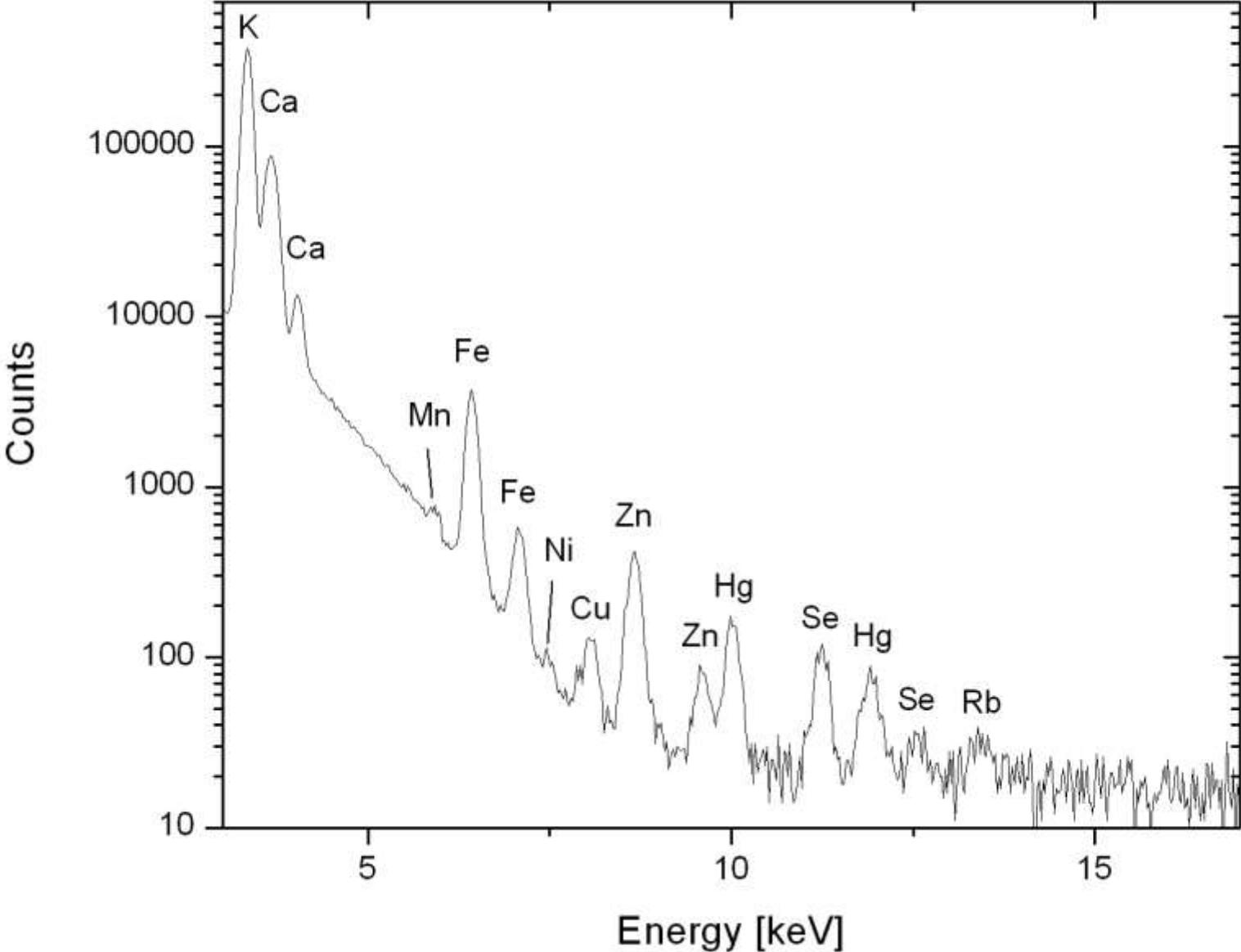
Analizni tehniki:

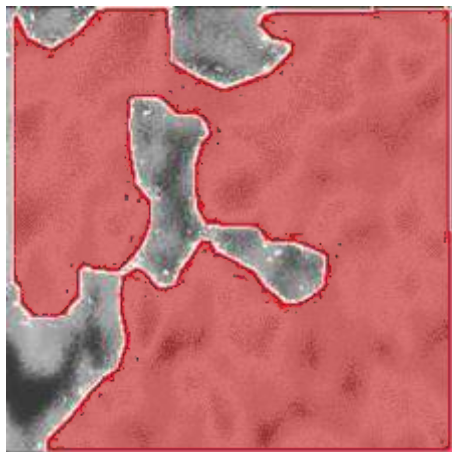
1. absorpcijska,
2. emisijska, npr. PIXE.





Germanium (iGe) X-ray spectrum (324003, whole)

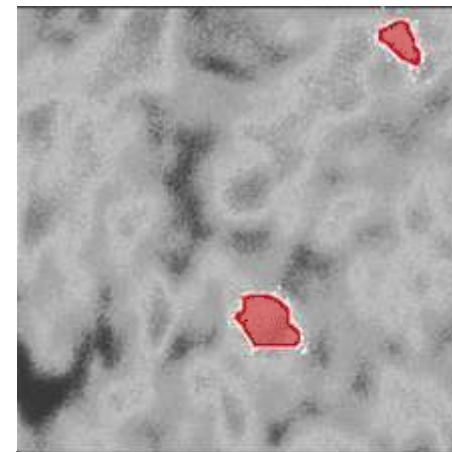




Celota

**Analiza
koncentracij
celotnega
vzorca**

**Analiza
koncentracij
Hg gnezd**



Hg gnezda 1-2

| Elementi | Konc [ppm] | Stat.err. % | Iod [ppm] |
|-----------|------------|-------------|-----------|
| K | 9675.8 | 0.06 | 4.8 |
| Ca | 1552.7 | 0.84 | 22.5 |
| Mn | 8.5 | 9.12 | 1.4 |
| Fe | 118.8 | 0.84 | 1.2 |
| Ni | 0.2 | 280.12 | 0.9 |
| Cu | 28.6 | 2.47 | 0.8 |
| Zn | 67.6 | 1.56 | 0.9 |
| Se | 53.6 | 3.93 | 2.7 |
| Rb | 17.0 | 19.26 | 5.8 |
| Hg | 138.8 | 2.93 | 4.7 |

Hipofiza

**File nr.
324014**

| Elementi | Konc [ppm] | Stat.err. % | Iod [ppm] |
|-----------|------------|-------------|-----------|
| K | 10501.0 | 0.3 | 20.5 |
| Ca | 1647.1 | 1.69 | 47.1 |
| Mn | 14.1 | 34.51 | 8.7 |
| Fe | 156.5 | 4.47 | 6.7 |
| Ni | 3.2 | 116.65 | 6.5 |
| Cu | 48.3 | 11.82 | 7.5 |
| Zn | 74.6 | 10.3 | 9.8 |
| Se | 201.4 | 11.67 | 31.3 |
| Rb | 58.6 | 46.55 | 35.6 |
| Hg | 606.6 | 8.03 | 37.1 |

Aktivnost

- Aktivnost: $A = \frac{N}{\tau}$ [Bq]
- Primer: aktivnost K-40 v 1kg KCl

$$M(\text{K}) = 39,1 \text{ kg/kmol}$$

$$M(\text{Cl}) = 35,45 \text{ kg/kmol}$$

$$w(\text{K-40}) = 0,0117\%$$

$$t_{1/2} (\text{K-40}) = 1,25 \cdot 10^9 \text{ let}$$

$$A = 1,66 \cdot 10^4 \text{ Bq}$$

Razpadi

- Po koliko razpolovnih časih dosežemo 97% ravnovesne aktivnosti, če nuklid v reaktorju nastaja s konstantno hitrostjo? (5)

3 nivojski sistem

1 → 2 → 3

$$N_1 = N_0 \exp(-\lambda_1 t)$$

$$N_2 = N_0 \frac{\lambda_1}{\lambda_1 - \lambda_2} (\exp(-\lambda_2 t) - \exp(-\lambda_1 t))$$

$$N_3 = N_0 \left(1 + \frac{\lambda_2 \exp(-\lambda_1 t) - \lambda_1 \exp(-\lambda_2 t)}{\lambda_1 - \lambda_2} \right)$$

Kdaj nivo 2 doseže max?

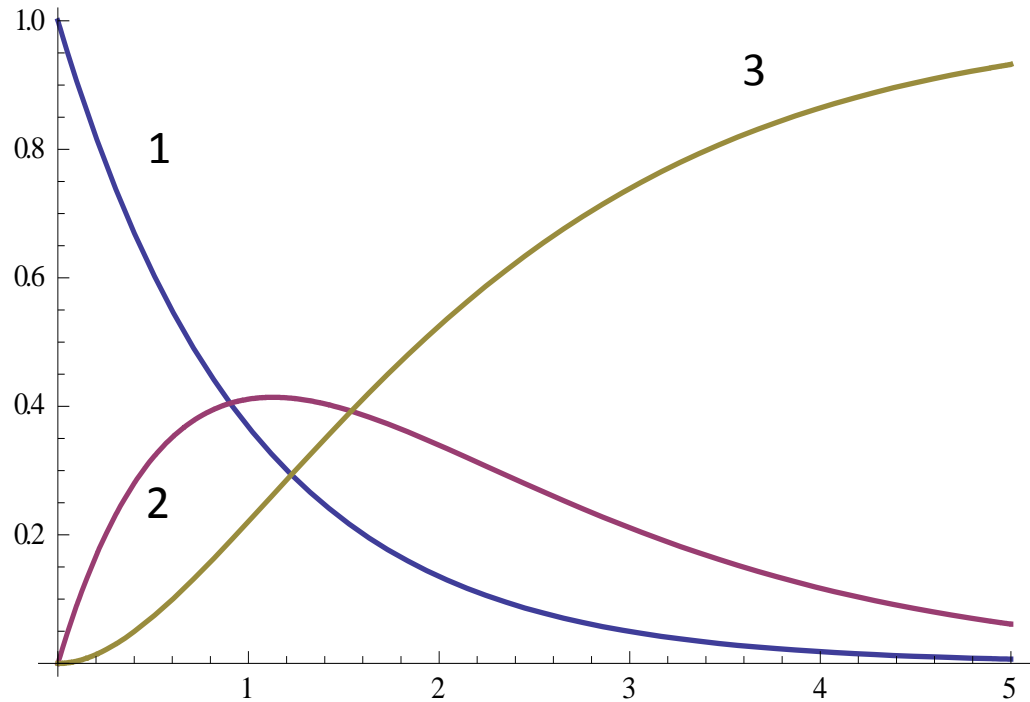
$$t_{max} = \frac{\ln(\lambda_1/\lambda_2)}{\lambda_1 - \lambda_2}$$

$$A_2(t_{max}) = ?$$

$$A_1(t_{max}) = ?$$

$$\frac{A_2}{A_1} = ?$$

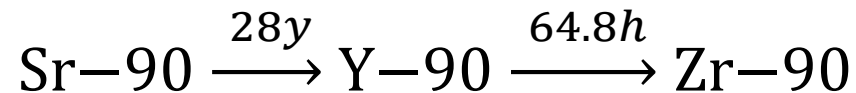
$$A = \frac{N}{\tau} \neq \frac{dN}{dt}$$



$$\frac{A_2}{A_1} = \frac{\lambda_2}{\lambda_2 - \lambda_1} \left(1 - e^{-(\lambda_2 - \lambda_1)t} \right)$$

1. $\lambda_2 < \lambda_1$: razmerje se s časom povečuje
2. $\lambda_2 > \lambda_1$: razmerje se s časoma stabilizira
3. $\lambda_2 \gg \lambda_1$: razmerje gre hitro proti 1

Primer, razpad β - pri Sr-90:



Sodelovanje sevanja s snovjo

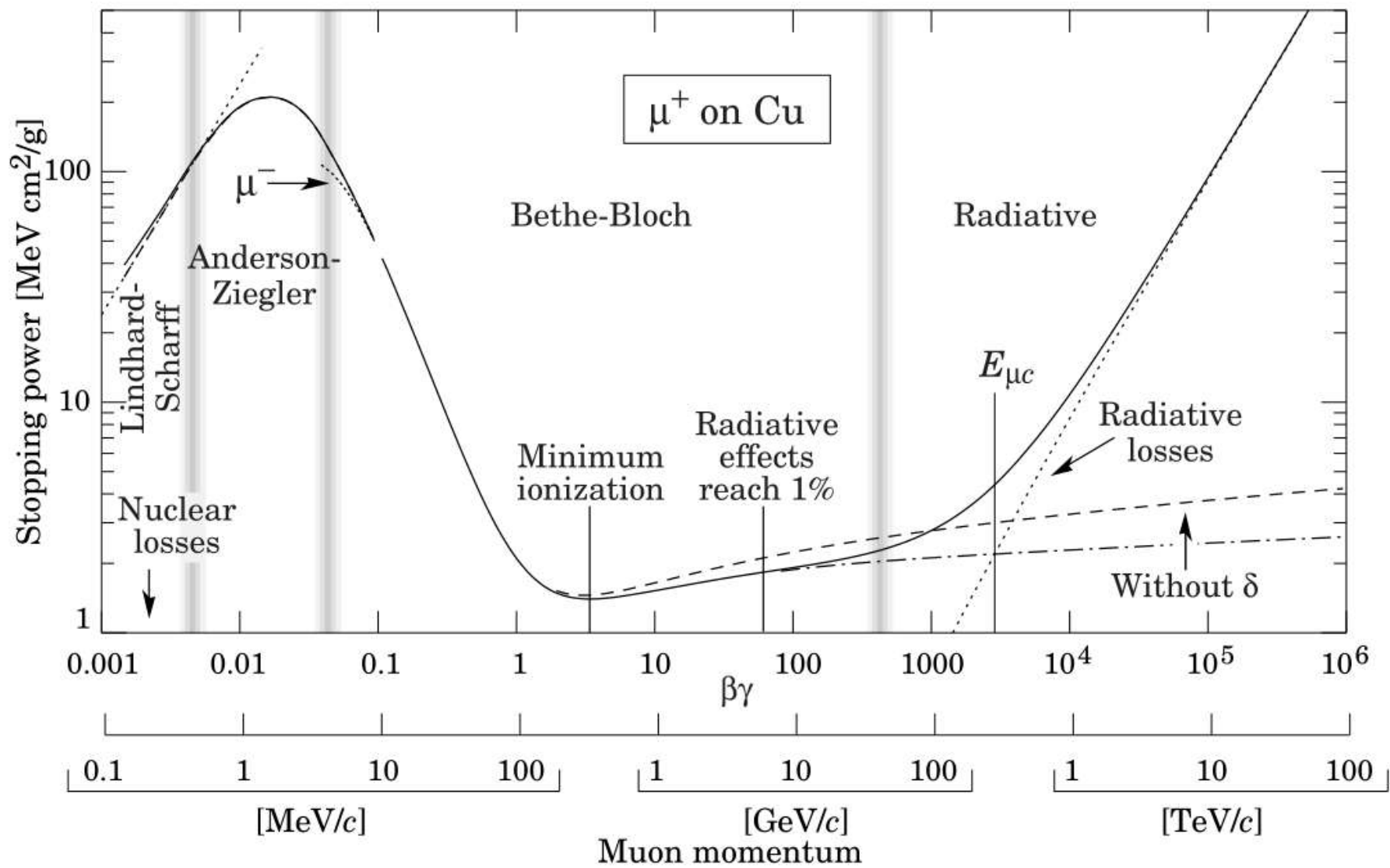
Bethe-Blochova formula

$$-\frac{dE}{\rho dx} = K \frac{Z}{A} \frac{z_1^2}{\beta^2} \left[\ln \left(\frac{2 m_e c^2}{I} \frac{\beta^2}{1 - \beta^2} \right) - \beta^2 \right]$$

$$K = 4\pi N_a r_e^2 m_e c^2 = 0,307 \text{ MeV} \frac{\text{cm}^2}{\text{g}}$$

$$I \approx Z \cdot 13,5 \text{ eV}$$

Velja za $\frac{v}{c} = \beta > 0.1$ in $z_1 < 13$, $M \gg m_e$



Naloga: Kakšno gibalno količino in kinetično energijo imajo minimalno ionizirajoči delci e^- , μ , π , p in α ?



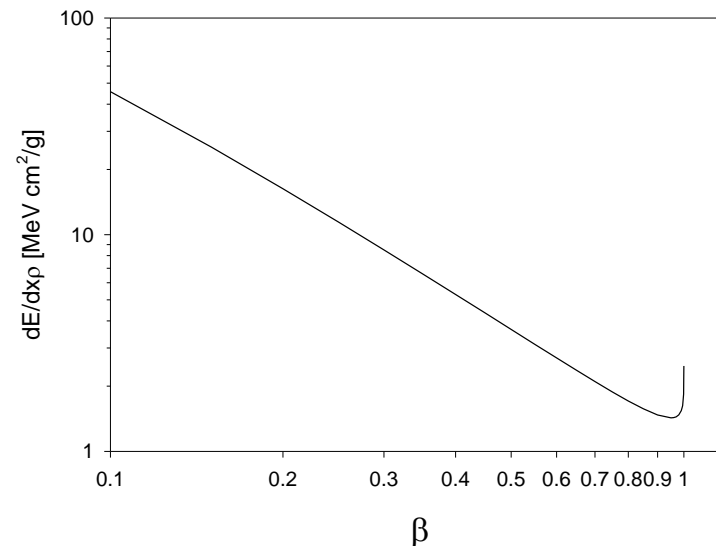
$$\beta = 0,96$$

$$T = ?, p = ?$$

$$pc = 3,43E_0, \quad T = \left(\sqrt{1 + 3,43^2} - 1 \right) E_0$$

| delec | mc^2 [MeV] | pc [MeV] | T [MeV] |
|----------|--------------|------------|-----------|
| e | 0,511 | 1,75 | 1,31 |
| μ | 107 | 367 | 275 |
| π | 140 | 480 | 360 |
| p | 938 | 3200 | 2410 |
| α | 3800 | 13000 | 9800 |

Stopping power za protone v bakru

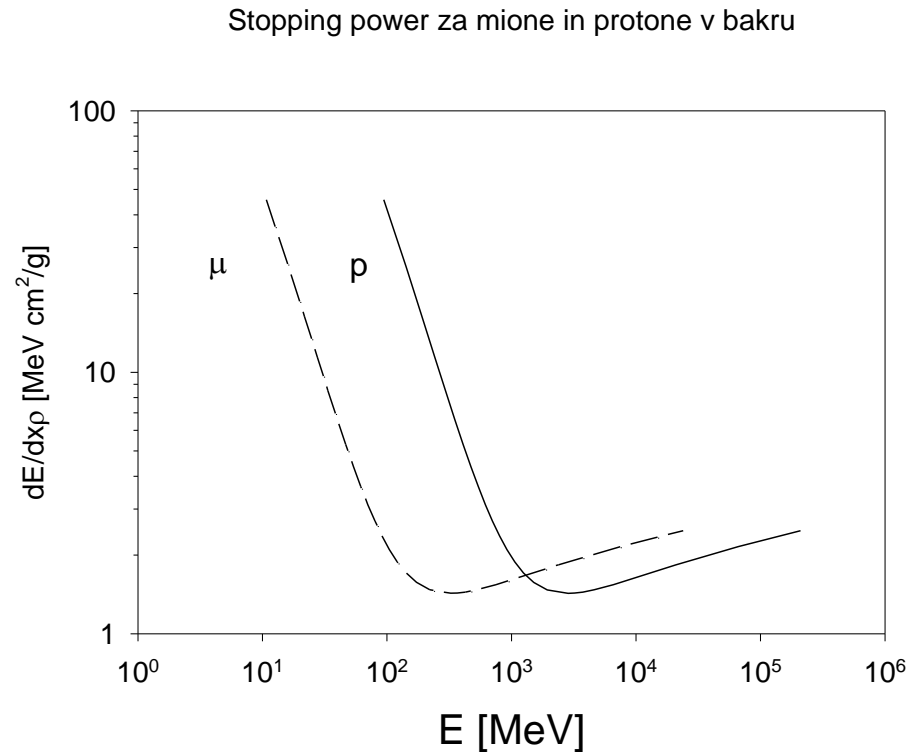


Baker: $Z=29$, $A=63.55$, $\rho=9.0 \text{ g/cm}^3$

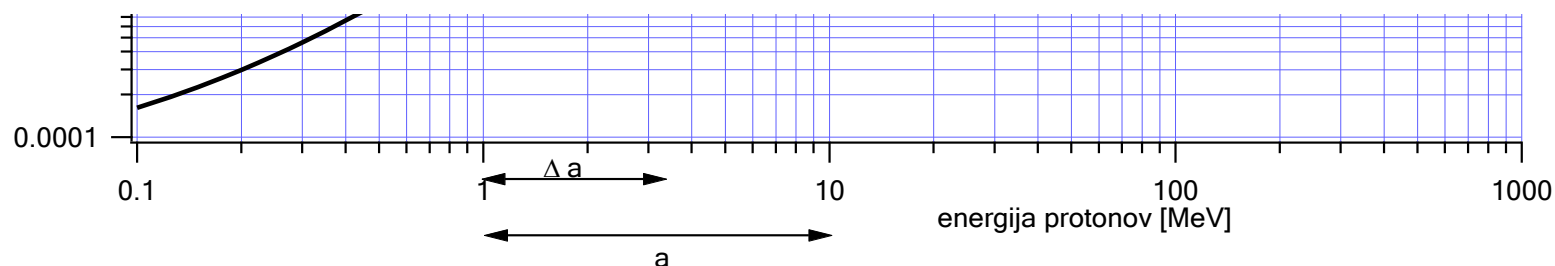
Naloga: Kozmične mione merimo z 2 cm debelim plastičnim scintilatorjem z gostoto 1.03 g/cm^3 . Kakšna je povprečna energija, ki ostane v detektorju?

$$-\frac{dE}{\rho dx} \approx 1,5 \text{ MeV cm}^2/\text{g}$$

$$\Delta E \approx 3 \text{ MeV}$$



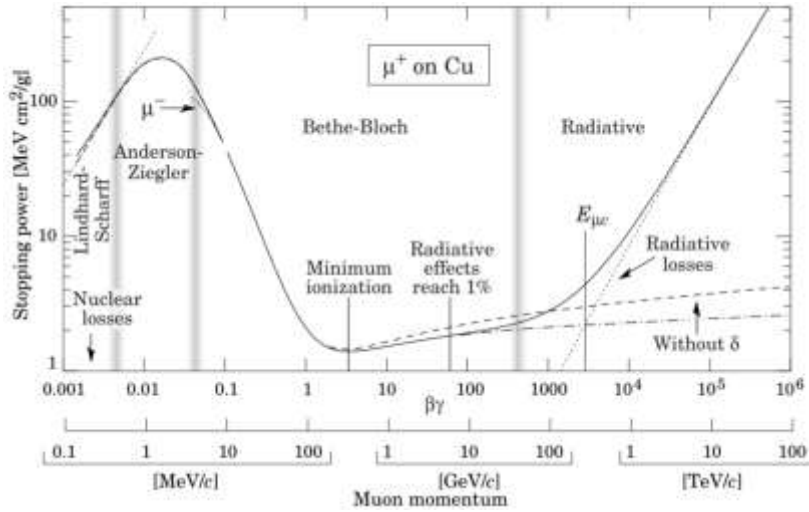
Odčitavanje z logaritmskega grafa



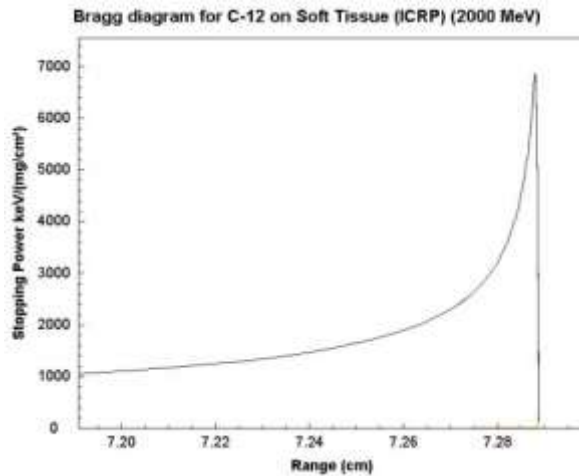
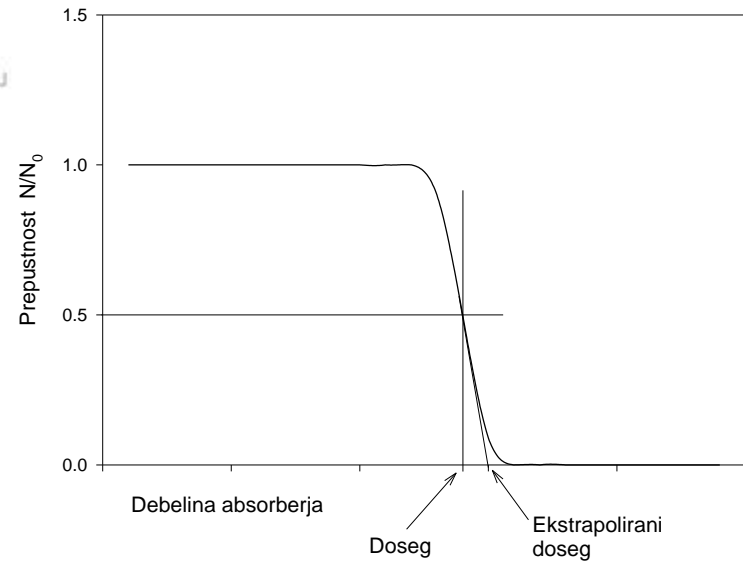
$$E = E_1 10^{\frac{\Delta a}{a} \log \frac{E_2}{E_1}}$$

| $\Delta a/a$ | E |
|--------------|------|
| 0 | 1 |
| 0.30 | 2.00 |
| 0.50 | 3.16 |
| 0.70 | 5.00 |
| 1 | 10 |

Doseg delcev



Delež prepuščenih delcev v odvisnosti od razdalje



Doseg delcev

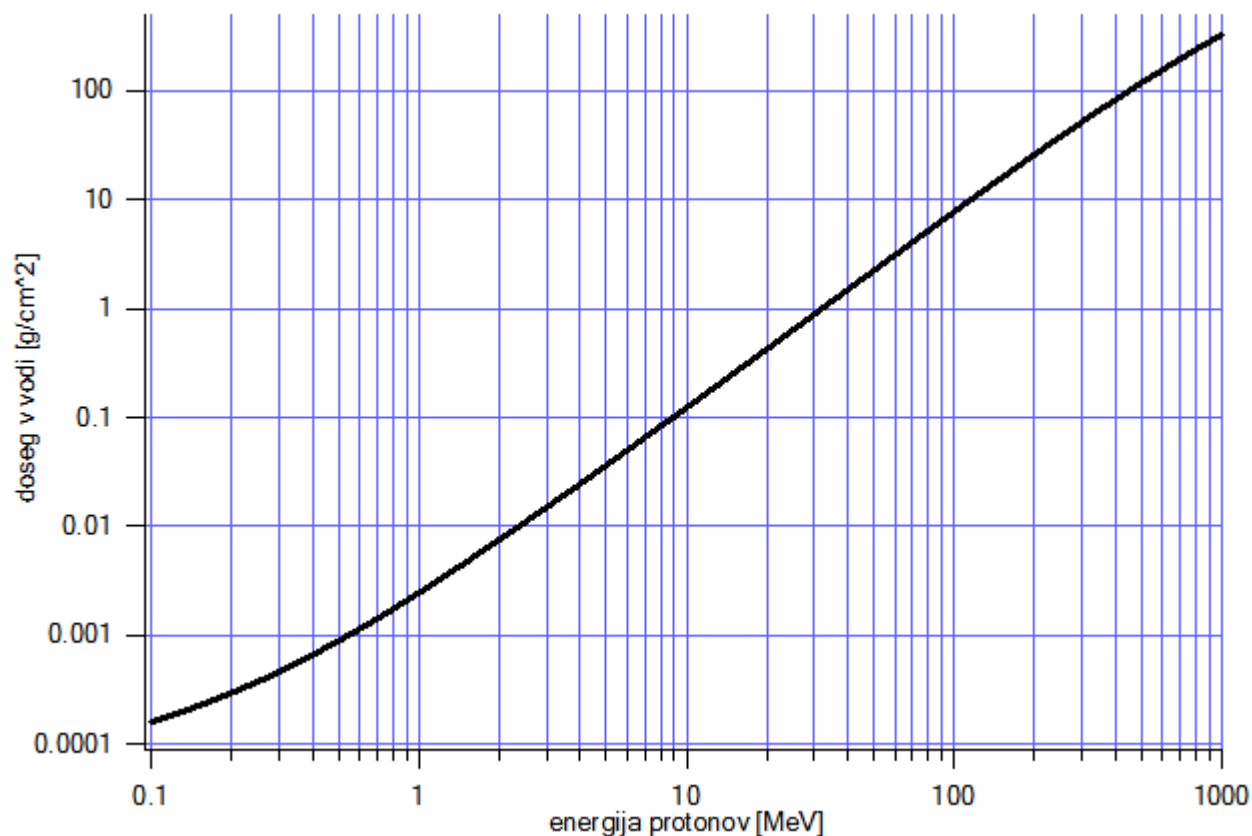
Uporabno:

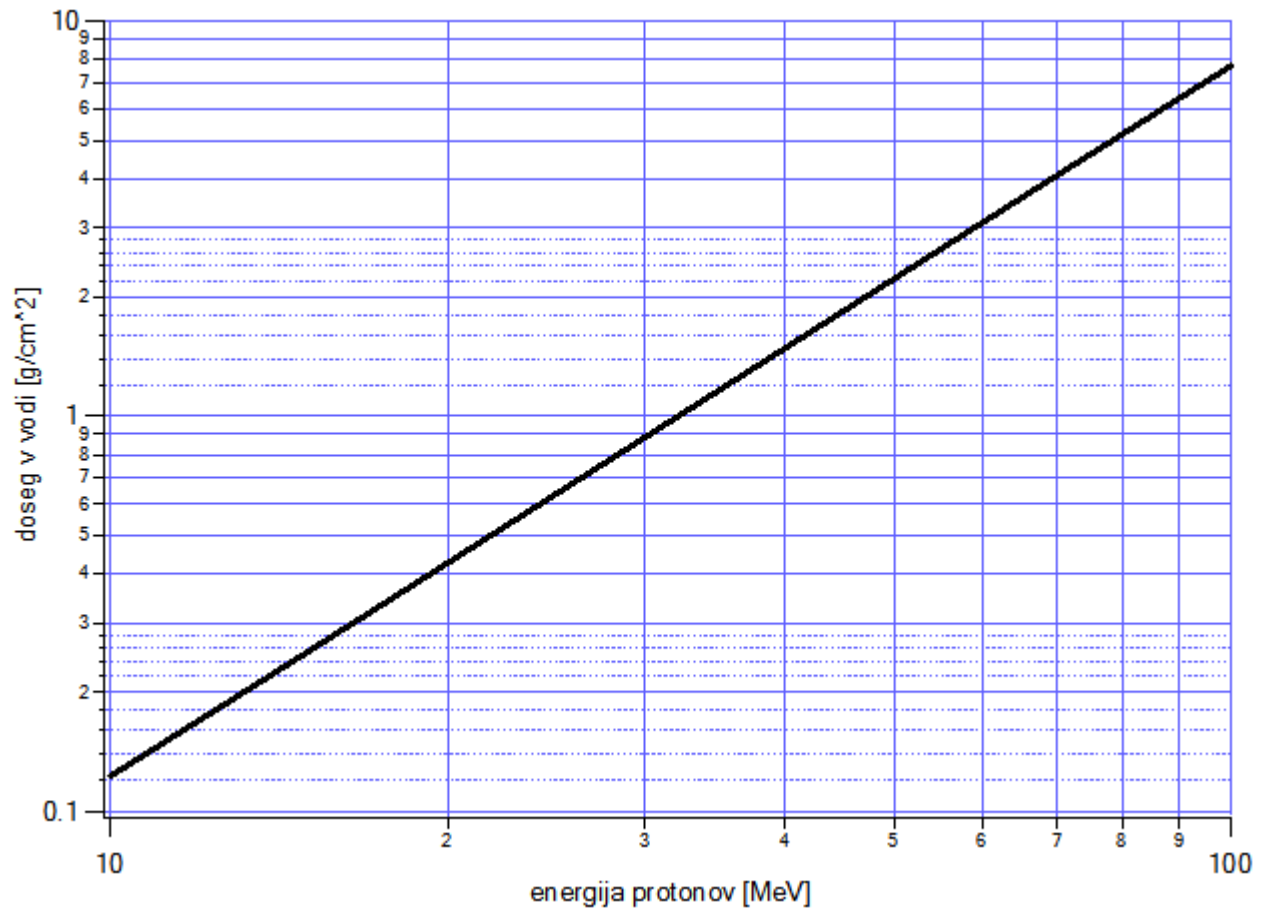
- Določanje energije delcev
- Velikost detektorjev
- Debeline ščitov
- Terapija

Naloga: Kakšna mora biti energija curka protonov, da z njimi uničimo tumor v možganih na globini 1 cm?

Podatki za doseg in izgube energij:

<http://physics.nist.gov/PhysRefData/Star/Text/contents.html>





$$E \approx 32 \text{ MeV}$$

Preseki = verjetnost za reakcije

$$\frac{N_r}{t} = \frac{N_0 \sigma_T}{t S}$$

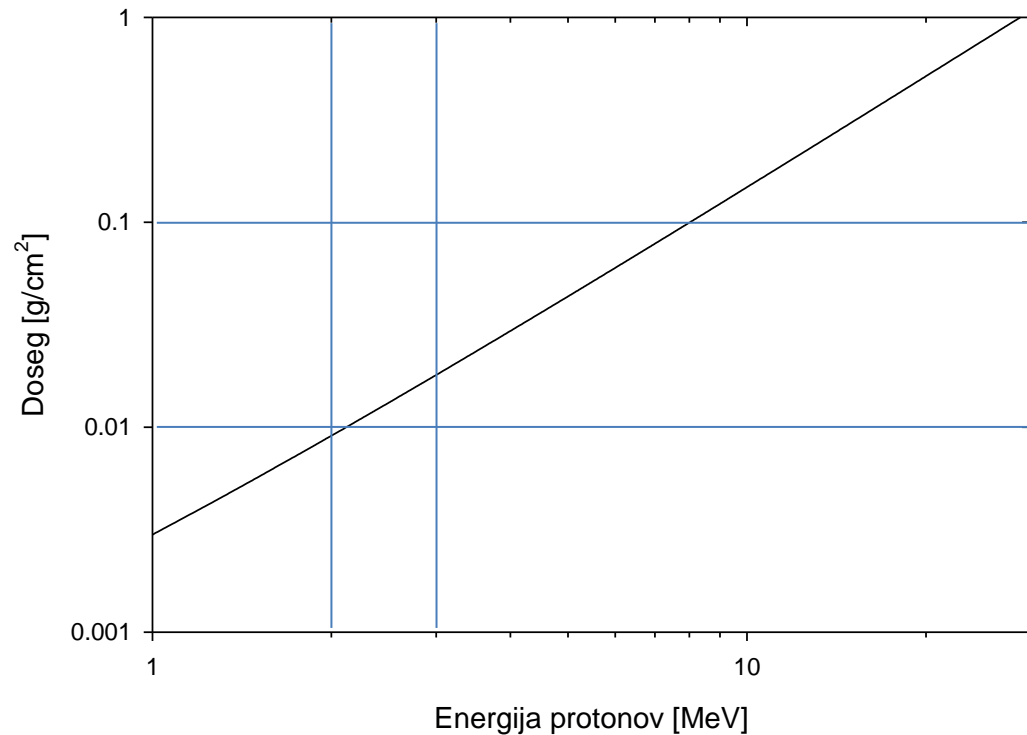
Skupni presek za reakcijo: $\sigma_T = N_T \sigma$

Velja za tanko tarčo, $S = \min(\text{tarča, žarek})$

S protoni iz tandem van de Graafovega pospeševalnika pri terminalni napetosti 1.5 MV obstreljujemo tarčo iz litija. Presek za reakcijo ${}^7\text{Li}(p,n){}^7\text{Be}$ je 345 mb, konstanten do praga pri 2 MeV, pri nižjih energijah protonskega žarka pa hitro pade na nič. Koliko reakcij bo nastalo, če na tarči izmerimo naboj $100\ \mu\text{As}$?

$$1\ \text{b} = 10^{-24}\ \text{cm}^2$$

Doseg protonov v litiju



$$N_R = 1,6 \times 10^{11}$$

Uporaba B-B

- Oceni, kolikšno energijo izgubi delec α z energijo 5,5MeV, ko preleti list zlata debeline 1,5 μ m. Gostota zlata je 19,3 g/cm³, vrstno število 79 in masno število 197. Povprečna ionizacijska energija za težje elemente je sorazmerna z njihovim vrstnim številom:
 $I \approx E_I Z$, kjer je $E_I = 9,1\text{eV}$. (=0,7 MeV)

Bethe-Blochova formula

$$-\frac{dE}{\rho dx} = K \frac{Z}{A} \frac{z_1^2}{\beta^2} \left[\ln \left(\frac{2 m_e c^2}{I} \frac{\beta^2}{1 - \beta^2} \right) - \beta^2 \right]$$

$$K = 4\pi N_a r_e^2 m_e c^2 = 0,307 \text{ MeV} \frac{\text{cm}^2}{\text{g}}$$

$$I \approx Z \cdot 13,5 \text{ eV}$$

Velja za $\frac{v}{c} = \beta > 0.1$ in $z_1 < 13$, $M \gg m_e$